



UNIVERSIDAD DE CHILE
FACULTAD DE CIENCIAS VETERINARIAS Y PECUARIAS
ESCUELA DE CIENCIAS VETERINARIAS



**OBTENCIÓN DE CONTROLES POSITIVOS EN LA DETECCIÓN
DE DOS GENES DE RESISTENCIA A TETRACICLINAS EN
BACTERIAS DE INTERÉS VETERINARIO**

**OBTAINING OF POSITIVE CONTROLS IN THE DETECTION OF
TWO GENES OF RESISTANCE TO TETRACYCLINES IN
BACTERIA OF VETERINARY INTEREST**

BEATRIZ ELIANA OBREQUE ROJAS

Memoria para optar al Título Profesional
de Médico Veterinario
Departamento de Medicina Preventiva
Animal

**PROFESOR GUÍA
CARLOS NAVARRO VENEGAS**

**SANTIAGO, CHILE
2011**



UNIVERSIDAD DE CHILE
FACULTAD DE CIENCIAS VETERINARIAS Y PECUARIAS
ESCUELA DE CIENCIAS VETERINARIAS



**OBTENCIÓN DE CONTROLES POSITIVOS EN LA DETECCIÓN
DE DOS GENES DE RESISTENCIA A TETRACICLINAS EN
BACTERIAS DE INTERÉS VETERINARIO**

**OBTAINING OF POSITIVE CONTROLS IN THE DETECTION OF
TWO GENES OF RESISTANCE TO TETRACYCLINES IN
BACTERIA OF VETERINARY INTEREST**

BEATRIZ ELIANA OBREQUE ROJAS

NOTA FINAL:

Memoria para optar al Título Profesional
de Médico Veterinario.
Departamento de Medicina Preventiva
Animal.

		NOTA	FIRMA
PROFESOR GUÍA	: CARLOS NAVARRO VENEGAS
PROFESOR CONSEJERO	: M. ANTONIETA JARA OSORIO
PROFESOR CONSEJERO	: DANIELA IRAGÜEN CONTRERAS

SANTIAGO, CHILE
2011

AGRADECIMIENTOS

Quisiera agradecer a mis padres, Beatriz y Joel, y a mis hermanos Cristián e Ivonne por el apoyo y la fe que depositaron en mí durante todos estos años. A mis sobrinos, Gabriel, Joaquín y Emilia, los cuales a pesar de no entender por su corta edad lo que estoy viviendo estarán orgullosos de mí.

A mis amigos y compañeros de universidad Yassna Faúndez, Patricia Quezada, John Quiroga y Lissette Saldías, por todo el cariño, alegría y amistad que hemos compartido desde que nos conocimos.

A mi profesor guía, Carlos Navarro por todo lo que me enseñó en el laboratorio, y por todas las palabras de ánimo las que me sirvieron para no caer. Eternamente gracias.

A la doctora María Antonieta Jara por su buena disposición y amabilidad. También a su ayudante, Nicolás Galarce por compartir sus conocimientos microbiológicos.

A Brisa, mi compañera de laboratorio por su gentileza y tranquilidad en desarrollar las actividades prácticas.

Y finalmente, a Leonardo Figueroa quien siempre tuvo la esperanza que lo lograría.

A todos ustedes...muchas gracias.

DEDICATORIA

A mis padres, por cumplir mi sueño.

A mi abuelo, porque siempre ha estado conmigo.

A mis sobrinos.

A Leonardo, por su apoyo.

RESUMEN

El tratamiento de las infecciones nosocomiales se complica más cada día, debido a que los agentes etiológicos que las causan son principalmente bacterias multiresistentes. Dado que la resistencia está codificada por genes, es necesario conocer y actualizar sus frecuencias, lo que permitiría guiar el control de la resistencia antimicrobiana en recintos hospitalarios.

Actualmente, para la detección de estos genes se utiliza principalmente la Reacción en Cadena de la Polimerasa (PCR), la que requiere de controles positivos para la adecuada interpretación de sus resultados.

Por ello, el objetivo de este estudio fue obtener controles positivos para dos genes de resistencia a tetraciclinas: *tet(A)* y *tet(B)* a partir dos cepas bacterianas resistentes a tetraciclinas: *Pseudomonas aeruginosa* y *Pantoea agglomerans*, detectando estos genes mediante PCR, secuenciándolos y comparando su identidad nucleotídica con datos del GenBank®.

Los resultados obtenidos, mediante el programa Clustal W indican para *tet(B)* porcentajes de identidad nucleotídica mayores al 90%, mientras que para *tet(A)* fueron inferiores (78,79 y 83%).

En consecuencia, se confirmó la presencia del gen *tet(B)* en las cepas estudiadas siendo factible su utilización como controles positivos, no siendo posible la obtención de cepas controles para *tet(A)*.

Palabras claves: infección nosocomial, tetraciclinas, genes *tet*.

SUMMARY

Because the etiologic agents are mainly multi-resistant bacteria, the treatment of nosocomial infections is increasingly complicated. In addition, due to the fact that bacterial resistance is encoded by genes, it becomes necessary to know and update their frequencies and to guide the control of antimicrobial resistance in hospitals.

Currently, the Polymerase Chain Reaction is the molecular tool used for the detection of these genes, but positive controls are needed for the proper interpretation of their results.

Therefore, the objective of this study was to obtain two positive controls for tetracycline resistance genes: *tet(A)* and *tet(B)* from *Pseudomonas aeruginosa* and *Pantoea agglomerans*, two bacterial strains resistant to tetracycline. These genes were detected by PCR, sequenced and compared with data from GenBank.®.

The results obtained using the Clustal W program indicated a percentage of nucleotidic identity higher than 90% for *tet(B)* gene, meanwhile lower nucleotidic identity for *tet(A)* gene (78, 79 and 83%) was detected.

Thus, the presence of the *tet(B)* gene was confirmed in the studied strains and its utilization as positive controls can be suggested. The obtaining of strain that may be used as positive control for *tet(A)* gene was not achieved.

Keywords: nosocomial infection, tetracycline, *tet* genes.

INTRODUCCIÓN

Las infecciones nosocomiales o intrahospitalarias (IN o IIH) se han definido como aquellas infecciones que son adquiridas dentro de un recinto hospitalario y cuya manifestación, dependiendo del periodo de incubación de la infección, puede presentarse 48-72 horas después, o incluso una vez dado de alta el paciente, es decir que no están presentes o siendo incubadas al momento de su ingreso (14). Son causadas preferentemente por bacterias, siendo las más aisladas desde unidades intensivas humanas *Pseudomonas aeruginosa*, *Escherichia coli*, *Staphylococcus aureus*, *Staphylococcus epidermidis* y *Acinetobacter baumannii* (13).

En el caso de la medicina veterinaria, son escasos los estudios efectuados en hospitales veterinarios donde se aíslen e identifiquen los agentes nosocomiales de mayor prevalencia. En Chile se han identificado algunas bacterias causantes de infecciones en heridas operatorias en un hospital de pequeños animales, siendo *Staphylococcus intermedius* el agente más recurrente tanto en perros como en gatos, seguido por *Actinomyces pyogenes*, *Micrococcus spp.*, y *Pseudomonas aeruginosa* (20). También se han identificado bacterias ambientales potencialmente nosocomiales como *Enterococcus faecium*, *Enterobacter cloacae*, *Escherichia coli* y *Pseudomonas aeruginosa*, las cuales presentaron un alto porcentaje resistencia a 2 o más antimicrobianos (8).

Para definir si una bacteria es resistente a un antimicrobiano, se considera la concentración mínima inhibitoria (CIM); cuando la concentración que el antimicrobiano alcanza en el tejido no supera la CIM, las bacterias tienen todas las posibilidades de sobrevivir y se puede indicar que son resistentes (5). Esta resistencia puede ser una propiedad natural (intrínseca) o el resultado de una mutación o adquisición de material genético en forma de plásmidos o transposones, a través de diferentes procesos de transferencia, lo cual se ve facilitado por la presión de selección generada al utilizar antibacterianos (1, 3).

Actualmente, uno de los grupos de antibacterianos que presenta altos niveles de resistencia bacteriana, es el de las tetraciclinas (2). Los principales mecanismos de resistencia descritos para contrarrestar el efecto de estos antibacterianos, son: bombas de expulsión activa específicas para las tetraciclinas y proteínas de protección ribosomal, siendo de menor importancia la inactivación enzimática del fármaco (22). El primer mecanismo se ha descrito mayormente entre bacterias Gram-negativas, mientras que el segundo entre las Gram-positivas.

Hasta el momento, han sido caracterizados 40 determinantes genéticos de resistencia a tetraciclina (genes *tet*) y 3 determinantes de resistencia a oxitetraciclina (genes *otr*) (18). La mayoría de estos genes, entre ellos *tet*(A) y *tet*(B), codifican una proteína de eflujo (Tet) de membrana citoplasmática, la cual intercambia un protón por un complejo catión- tetraciclina contra el gradiente de concentración (2,4). Se describe que estos dos genes están ampliamente diseminados en la naturaleza entre bacterias Gram-negativas, debido a que se presentan principalmente en elementos genéticos móviles (10).

Algunos estudios han evaluado la prevalencia de estos genes en bacterias nosocomiales y se reconoce que el gen *tet*(B) es el más prevalente en cepas de *Acinetobacter baumannii* (10) mientras que *tet*(A) y *tet*(B) presentan una alta frecuencia en cepas de *Escherichia coli* (23).

Para lograr esta detección se ha utilizado la Reacción en Cadena de la Polimerasa (PCR) (6). Esta técnica, se basa en la amplificación exponencial de una secuencia de interés, de manera sensible y específica. Para su realización se requiere de ADN, dos oligonucleótidos sintéticos (partidores) que brindan la especificidad a la técnica, la ADN polimerasa proveniente inicialmente de la bacteria *Thermus aquaticus*, los cuatro desoxinucleótidos y un termociclador, que permite variar la temperatura de acuerdo a la etapa en desarrollo, necesitando la desnaturación y la extensión, temperaturas más elevadas que el alineamiento (11,19).

La técnica de PCR, requiere de controles positivos, los cuales son un elemento fundamental en la interpretación de los resultados. Actualmente, en el laboratorio de Microbiología de la Facultad de Ciencias Veterinarias y Pecuarias de la Universidad de Chile, no se dispone de cepas nativas en las que se certifique la presencia de genes de resistencia que puedan ser utilizados como controles positivos, por lo que deben ser obtenidas a partir de cepas fenotípicamente resistentes. Debido a esta deficiencia, este estudio tiene por objetivo generar controles positivos nativos útiles en la detección de los genes *tet*(A) y *tet*(B), complementando las investigaciones en las que se han obtenido cepas controles positivos para los genes *bla_{TEM}* y *mecA*, involucrados en la resistencia a β-lactámicos (datos no publicados).

Estos controles permitirán, confirmar la presencia o ausencia de estos genes en bacterias aisladas desde recintos hospitalarios, siendo de gran utilidad como medida predictiva para un mayor control de la resistencia bacteriana, y en el desarrollo de un sistema de vigilancia que

guíe la rotación de los antimicrobianos a utilizar, de acuerdo a la situación epidemiológica de cada recinto hospitalario (12, 15).

MATERIALES Y MÉTODOS

Esta investigación se realizó en el Laboratorio de Microbiología Veterinaria del Departamento de Medicina Preventiva Animal de la Facultad de Ciencias Veterinarias y Pecuarias de la Universidad de Chile.

Se utilizaron 2 cepas bacterianas: *Pseudomonas aeruginosa* y *Pantoea agglomerans*, aisladas e identificadas en un estudio previo (8) que presentaron resistencia fenotípica a tetraciclinas según determinación de la susceptibilidad antimicrobiana mediante el método de Kirby Bauer y que al ser analizadas previamente mediante PCR, amplificaron bandas de tamaño compatible con lo descrito para los genes *tet(A)* y *tet(B)* (16).

La extracción del ADN bacteriano se realizó mediante la utilización de un kit comercial (Genomic DNA Purification kit, Fermentas®), siguiendo las indicaciones del fabricante.

Para su amplificación, se utilizó un kit comercial (2X PCR Master Mix Fermentas®), que contiene la polimerasa termoestable, los desoxinucleótidos trifosfatos (dNTPs), el buffer de reacción y MgCl₂.

Las condiciones de amplificación de los genes fueron las mismas para ambos genes *tet* (10). Brevemente, las muestras fueron sometidas a 30 ciclos, con denaturación a 94°C por un minuto, alineamiento a 55°C por un minuto, extensión a 72°C por un minuto y finalmente una elongación final a 72°C por cinco minutos. Los partidores utilizados están descritos en el anexo 1 y los tamaños de banda esperados para *tet(A)* y para *tet(B)* fueron 950 pb y 650 pb respectivamente.

La visualización de los productos de PCR, se realizó mediante electroforesis en gel de agarosa al 2% (Winkler®) en buffer Tris acetato EDTA (TAE) (Fermentas ®). El producto de PCR se mezcló con un producto comercial de carga (6X Mass Ruler Loading Dye Solution; Fermentas ®) y la electroforesis se llevó a cabo a 90 V por 90 minutos. Como marcador de tamaño molecular se utilizó un estándar que contiene fragmentos de ADN entre 100 y 1000 pb (DNA ladder; Fermentas ®). Luego de la electroforesis, el gel se sometió a inmersión en bromuro de etidio (0,5 µg/mL; Fermelo ®) y las bandas fueron visualizadas en un transiluminador de luz ultravioleta (Transiluminator UVP ®) y fotografiadas con una cámara digital.

Respecto a las medidas de bioseguridad, éstas incluyeron el uso de material estéril, la utilización de delantal manga larga y guantes. El uso de un transiluminador de luz UV y del bromuro de etidio, contempló la utilización de una placa de acrílico y gafas con filtro, como también la incineración de los geles.

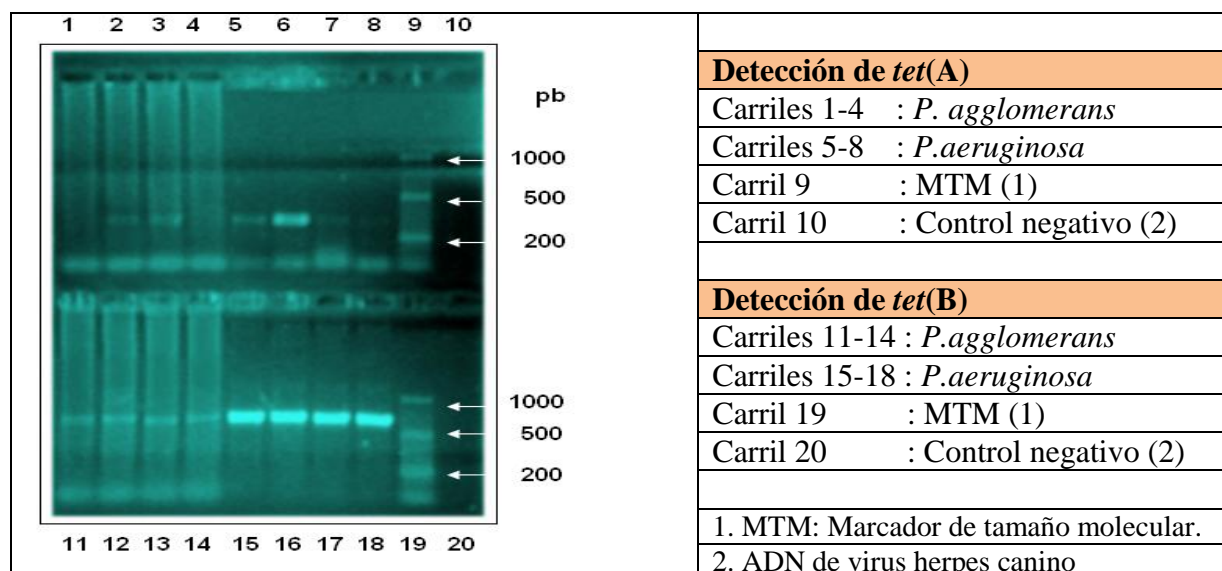
La secuenciación de los fragmentos de ADN resultantes, fue realizado por la empresa genYtec (Genética y Tecnología Ltda). Posteriormente, estas secuencias se alinearon mediante el programa *on line* Clustal W (acceso libre), obteniendo una secuencia de consenso para cada gen y cada cepa, comparándolas luego con algunas descritas en el GenBank® y determinando finalmente el porcentaje de identidad nucleotídica (PIN) para los genes de interés (21). Los números de acceso de las secuencias utilizadas para el alineamiento del gen *tet(B)* fueron: FJ411076.1, HQ333262.1 y FR872822.1 (anexo 4) y para *tet(A)*: NC_005327.1 y NC_013951.1 (anexo 8). El criterio para clasificar a los genes *tet*, se basó en el utilizado previamente, considerando al menos un PIN $\geq 80\%$ para ser clasificado dentro de alguno de los determinantes genéticos ya descritos (9).

RESULTADOS

Detección y secuenciación genes *tet(A)* y *tet(B)* en bacterias descritas como nosocomiales.

En la figura 1, se visualizan las bandas obtenidas al realizar PCR: bandas de 300 pb para el gen *tet(A)* y de 650 pb para el gen *tet(B)*.

Figura 1. Detección mediante PCR de los genes *tet(A)* y *tet(B)* en 2 cepas bacterianas.



Determinación del porcentaje de identidad nucleotídica (PIN) respecto del GenBank®.

Una vez secuenciados todos estos fragmentos, se obtuvo para cada cepa bacteriana y gen *tet* estudiado, una secuencia de consenso (anexos 2, 3, 6 y 7).

Al realizar el alineamiento múltiple para el gen *tet*(B) (cuadro 1, anexo 5), se encontraron valores mayores al 90% para ambas secuencias de consenso: BOR1 (93, 98 y 98%); BOR2 (93, 96 y 96%). El valor de PIN entre las secuencias GenBank® es de 99%.

Mientras que para *tet*(A) (cuadro 2, anexo 9) las secuencias BOR3 y BOR4 alcanzaron valores de PIN menores a los anteriores: BOR3 (78% y 79%) y BOR4 (83%) mientras que el PIN entre las secuencias de GenBank® es de 100%.

Cuadro 1. PIN para *tet*(B).

Nombre	Bases	Nombre	Bases	PIN
BOR1	512	S1	655	98.0
BOR1	512	S2	418	93.0
BOR1	512	S3	789	98.0
BOR1	512	BOR2	514	77.0
S1	655	S2	418	99.0
S1	655	S3	789	99.0
S1	655	BOR2	514	96.0
S2	418	S3	789	99.0
S2	418	BOR2	514	93.0
S3	789	BOR2	514	96.0

Cuadro 2. PIN para *tet*(A).

Nombre	Bases	Nombre	Bases	PIN
BOR3	288	BOR4	284	65.0
BOR3	288	S4	1200	78.0
BOR3	288	S5	1275	79.0
BOR4	284	S4	1200	83.0
BOR4	284	S5	1275	83.0
S4	1200	S5	1275	100.0

DISCUSIÓN

Hoy en día, es necesario contar con herramientas que permitan guiar el control de la resistencia bacteriana en los hospitales. Una de estas herramientas, podría basarse en la detección de genes de resistencia, los cuales permitirían una mejor elección de los antimicrobianos a utilizar complementando la información obtenida en el antibiograma.

Para esta detección molecular, una alternativa es utilizar la técnica de PCR. Un riesgo importante en su realización, es la contaminación con ADN exógeno, el que puede provenir

principalmente de reacciones anteriores o por el uso de reactivos contaminados. Para evitarla, se recomienda básicamente respetar las normas de trabajo, utilizar reactivos de calidad certificada, material desechable y contar con un espacio físico separado de áreas donde se realicen otras actividades (17, 24).

En este trabajo, la metodología descrita (10) permitió obtener amplicones de tamaños cercanos a 650 pb para el gen *tet*(B) y de 300 pb para el gen *tet*(A) a partir de muestras provenientes de *P.agglomerans* y *P.aeruginosa*, dos cepas bacterianas ambientales descritas como potencialmente nosocomiales (8).

La obtención de amplicones de 650 pb fue una primera señal de la presencia del gen *tet*(B). Sin embargo, la presencia de amplicones de 300 pb respecto del gen *tet*(A) generó una interrogante aun no resuelta, debido a que estas mismas cepas fueron previamente analizadas por PCR, amplificando bandas de 950 pb (16).

Las secuencias nucleotídicas obtenidas, permitieron evidenciar la presencia del gen *tet*(B) y descartar definitivamente la alternativa que el fragmento de 300 pb sea parte del gen *tet*(A), pues a pesar de alcanzar un valor de PIN relativamente alto (83%) en *P.aeruginosa*, su alineamiento con las otras secuencias descritas no fue homogéneo, situación que es aún más evidente en la cepa de *P.agglomerans* (anexo 9, cuadro 2). Este resultado no correspondería a una falla en la extracción de ADN bacteriano, lo cual es corroborado por la presencia de amplicones de 650 pb; tampoco sería atribuible a los partidores, que fueron preparados de nuevo para evitar confusiones; la mezcla de reacción fue la misma, por lo tanto no representa un error tampoco y por último, el programa introducido en el termociclador es el mismo para ambos protocolos de PCR (10). Por lo tanto, para la detección de este gen en el futuro próximo, es recomendable el uso de partidores alternativos, ya sea previamente utilizados (7) o diseñados mediante programas computacionales (*in silico*) utilizando como referencia secuencias ya descritas y publicadas en bancos genéticos (anexos 10 y 11).

Al obtener las secuencias nucleotídicas y realizar el alineamiento mediante el programa Clustal W, se corroboró la obtención de dos cepas controles positivos para *tet*(B): *P.agglomerans* y *P.aeruginosa*, pues el valor de PIN alcanzado ($\geq 93\%$) permite clasificarlos en este determinante genético, superando el valor PIN de 80%, recomendado en el caso de los genes *tet* (9). No obstante, quedará la interrogante sobre la presencia del gen *tet*(A) en las muestras analizadas.

En relación a esto último, al incorporar la secuencia de 300 pb en la base de datos del programa *on line* de acceso libre denominado BLAST (25), la secuencia BOR4 (*P.aeruginosa*) muestra un 93% de identidad nucleotídica con un segmento del genoma completo de *P.aeruginosa*, lo cual era esperable (anexo 12). Sin embargo, al incorporar la secuencia BOR3 (*P.agglomerans*), el programa no encuentra ninguna identidad en su vasta colección nucleotídica (anexo 13), sugiriendo quizás amplificación no específica. Por ello, sería interesante reiterar la utilización de los partidores diseñados *in silico* propuestos en este estudio, para llegar a corroborar la obtención de fragmentos compatibles con el tamaño esperado y verificar su identidad a través de secuenciación, evaluando su posible utilidad como controles positivos.

Finalmente, la verificación de la presencia del gen *tet(B)* en *P.agglomerans* y *P.aeruginosa* constituye –al parecer– un hallazgo debido que anteriormente no se ha descrito este gen en ninguna de estas cepas.

CONCLUSIONES

La metodología descrita permitió obtener dos cepas controles nativas: *P.agglomerans* y *P.aeruginosa*, para continuar con el estudio del gen *tet(B)*, uno de los 40 genes involucrados en la resistencia a tetraciclinas y constituye un primer paso hacia el estudio de las relaciones entre la susceptibilidad antimicrobiana determinada mediante el método de Kirby Bauer y la presencia efectiva de un gen involucrado en la resistencia.

BIBLIOGRAFIA

1. CABRERA, C.; GÓMEZ, F.; ZÚÑIGA, A. 2007. La resistencia de bacterias a antibióticos, antisépticos y desinfectantes una manifestación de los mecanismos de supervivencia y adaptación. *Colomb Med* 38: 149- 158.
2. CHOPRA, I.; ROBERTS, M. 2001. Tetracycline antibiotics: mode of action, applications, molecular biology, and epidemiology of bacterial resistance. *Microbiol Mol Biol Rev* 65: 232-260.
3. DAVIES, J. 1994. Inactivation of antibiotics and dissemination of resistance genes. *Science* 264: 375-382.
4. DAVIES, J.; WEEB, V. 2004. Antibiotic resistance of bacteria. In: Shaechter, M. The desk encyclopedia of microbiology. Elsevier. California, USA. pp. 25-46.

5. **ERRECALDE, J.** 2004. Uso de antimicrobianos en animales de consumo: incidencia del desarrollo de resistencias en salud pública. FAO. Roma, Italia. 61 p.
6. **FLUIT, A.; VISSER, M.; SCHMITZ, F-J.** 2001. Molecular detection of antimicrobial resistance. *Clin Microbiol Rev* 14: 836-871.
7. **GUILLAUME, G.; VERBRUGGE, D.; CHASSEUR-LIBOTTE, M.; MOENS, W.; COLLARD, J.** 2000. PCR typing of tetracycline resistance determinants (Tet A-E) in *Salmonella enterica* serotype Hadar and in the microbial community of activated sludges from hospital and urban wastewater treatment facilities in Belgium. *FEMS Microbiol Ecol* 32: 77-85.
8. **JARA, M. A.; NAVARRO, C.; AVENDAÑO, P.** 2009. Identificación y estudio de susceptibilidad antimicrobiana de bacterias potencialmente responsables de infecciones nosocomiales en hospitales veterinarios de la Universidad de Chile. *Av Cs Vet* 24: 11-17.
9. **LEVY, S.; McMURRY, L.; BARBOSA, T.; BURDETT, V.; COURVALIN, P.; HILLEN, W.; ROBERTS, M.; ROOD, J.; TAYLOR, D.** 1999. Nomenclature for new tetracycline resistance determinants. *Antimicrob Agents Chemother.* 43:1523- 1524.
10. **MARTÍ, S.; FERNÁNDEZ-CUENCA, F.; PASCUAL, A.; RIBERA, A.; RODRÍGUEZ-BAÑO, J.; BOU, G.; CISNEROS, J.; PACHÓN, J.; MARTÍNEZ-MARTÍNEZ, L.; VILA, J.** 2006. Prevalencia de los genes *tetA* y *tetB* como mecanismo de resistencia a tetraciclina y minociclina en aislamientos clínicos de *Acinetobacter baumannii*. *Enferm Infect Microbiol Clin* 24:77-80.
11. **MULLIS, K.; FALOONA, F.** 1987. Specific synthesis of DNA *in vitro* via a polymerase-catalysed chain reaction. *Methods Enzymol* 155:335-350.
12. **OGEER-GYLES, J.; MATHEWS, K.; BOERLIN, P.** 2006. Nosocomial infections and antimicrobial resistance in critical care medicine. *J Vet Emerg Crit Care* 16:1-18.
13. **OLAECHEA, P.; INSAUSTI, J.; BLANCO, A.; LUQUE, P.** 2010. Epidemiología e impacto de las infecciones nosocomiales. *Med Intensiva* 34:256-267.
14. **OMS (ORGANIZACIÓN MUNDIAL DE LA SALUD).** 2003. Epidemiología de las infecciones nosocomiales. [en línea] Cap. 1 In: Prevención de las enfermedades nosocomiales: guía práctica. <http://www.who.int/csr/resources/publications/ES_WHO_CDS_CSR_EPH_2002_12.pdf> [consulta: 08-11-2011].

15. **OTEO, J.; CAMPOS, J.** 2003. Valor de los sistemas de vigilancia de resistencia a antibióticos. *Enferm Infect Clin* 21: 123-125.
16. **OYARCE, D.** 2011. Detección de cuatro genes de resistencia a tetraciclinas en bacterias nosocomiales Gram-negativas, aisladas en recintos hospitalarios veterinarios. Memoria Título Médico Veterinario. Santiago, Chile. U. Chile, Fac. Ciencias Veterinarias y Pecuarias. X p.
17. **PERCING, D.** 1991. Polymerase chain reaction: Trenches to benches. *J Clin Microbiol* 29: 1281-1285.
18. **ROBERTS, M.** 2010. Tet mechanisms of resistance. [en línea] < <http://faculty.washington.edu/marilynr/tetweb1.pdf> > [consulta: 08-11-2011]
19. **SAIKI, R.; GELFAND, D.; STOFFEL, S.; SCHARF, S.; HIGUCHI, R.; HORN, G.; MULLIS, K.; ERLICH, H.** 1988. Primer- directed enzymatic amplification of DNA with a thermostable DNA polymerase. *Science* 239: 487-491.
20. **SANZ, L.; JUNCO, C.** 2009. Identificación de la etiología de las infecciones bacterianas de las heridas operatorias. *Hosp Vet* 1: 21-32.
21. **THOMPSON, J.; HIGGINSS, D.; GIBSON, T.** 1994. Clustal W: Improving the sensitivity progressive multiple sequence alignments through sequence weighting position specific gap penalties and weight matrix choice. *Nucl Acids Res* 22: 4673-4680.
22. **TRIEBER, C.; TAYLOR, D.** 2002. Mutations in the 16S genes of *Helicobacter pylori* mediate resistance to tetracycline. *J Bacteriol* 184: 2131-2140.
23. **TUCKMAN, M.; PETERSEN, P.; HOWE, A.; ORLOWSKI, M.; MULLEN, S.; CHAN, K.; BRADFORD, P.; JONES, C.** 2007. Ocurrence of tetracycline resistance genes among *Escherichia coli* isolates from the phase 3 clinical trials for tigecycline.. *Antimicrob Agents Chemother* 51: 3205-3211.
24. **WOLCOTT, M.** 1992. Advances in nucleic acid-based detection methods. *Clin Microbiol Rev* 5: 370 -386.
25. **ZHANG, Z.; SCHWARTZ, S.; WAGNER, L.; MILLER, W.** 2000. A greedy algorithm for aligning DNA sequences. *J Comput Biol* . 7:203-14.

ANEXOS

Anexo 1. Partidores según gen *tet* (10)

Gen	Partidores	
<i>tet(A)</i>	5'-GTAATTCTGAGCACTGTCGC-3'	5'-CTGCCTGGACAACATTGCTT-3'
<i>tet(B)</i>	5'-TTGGTTAGGGGCAAGTTTG-3'	5'-GTAATGGGCCATAACACCG-3'

Anexo 2. Obtención de secuencia de consenso BOR1: *tet(B)* de *P.agglomerans*.

tetB1	TTATGTTTGG-TTCCGTAAACAAAAA-TACACGTGATAATACAGATACCG-AAGTAG	57
tetB2	TTATGTTTGGGTCCGTAAACAAAAATACACGTGATAATACAGATACCGGAAGTAG	60
BOR1	TTATGTTTGGGTCCGTAAACAAAAATACACGTGATAATACAGATACCGGAAGTAG	
tetB1	GGGT-GAGACGCAATCGAATTGGTATACATCACTTATTAAAAGATGCCCATTTG	116
tetB2	GGGTTGAGACGCAATCGAATTGGTATACATCACTTATTAAAAGATGCC-ATTTG	119
BOR1	GGGTTGAGACGCAATCGAATTGGTATACATCACTTATTAAAAGATGCCCATTTG	
tetB1	TTGATTATTTATTTCA CGCGCAATTGATAGGCCAAATTCCGCAACGGTGTGGTGCTA	176
tetB2	TTGATTATTTATTTCA CGCGCAATTGATAGGCCAAATTCCGCAACGGTGTGGTGCTA	179
BOR1	TTGATTATTTATTTCA CGCGCAATTGATAGGCCAAATTCCGCAACGGTGTGGTGCTA	
tetB1	TTTACCGAAAATCGTTTGGATGGAATAGCATGATGGTTGGCTTTCATTAGCGGGTCTT	236
tetB2	TTTACCGAAAATCGTTTGGATGGAATAGCATGATGGTTGGCTTTCATTAGCGGGTCTT	239
BOR1	TTTACCGAAAATCGTTTGGATGGAATAGCATGATGGTTGGCTTTCATTAGCGGGTCTT	
tetB1	GGTCTTTACACTCAGTATTCCAAGCCTTGTCGGCAGGAAGAACAGCCACTAAATGGGGC	296
tetB2	GGTCTTTACACTCAGTATTCCAAGCCTTGTCGGCAGGAAGAACAGCCACTAAATGGGGC	299
BOR1	GGTCTTTACACTCAGTATTCCAAGCCTTGTCGGCAGGAAGAACAGCCACTAAATGGGGC	
tetB1	GAAAAAACGGCAGTACTGCTCGGATTATTGCAGATAGTAGTGCATTGCCTTTAGCG	356
tetB2	GAAAAAACGGCAGTACTGCTCGGATTATTGCAGATAGTAGTGCATTGCCTTTAGCG	359
BOR1	GAAAAAACGGCAGTACTGCTCGGATTATTGCAGATAGTAGTGCATTGCCTTTAGCG	

tetB1	TTTATATCTGAAGGTTGGTAGTTCCCTGTATAATAATATTGGCTGGTGGGATC	416
tetB2	TTTATATCTGAAGGTTGGTAGTTCCCTGTATAATAATATTGGCTGGTGGGATC	419
BOR1	TTTATATCTGAAGGTTGGTAGTTCCCTGTATAATAATATTGGCTGGTGGGATC	
tetB1	GCTTACCTGCATTACAGGGAGTGATGTCTATCCAAACAAAGATTCATCAGCAAGGTGCT	476
tetB2	GCTTACCTGCATTACAGGGAGTGATGTCTATCCAAACAAAGACTCATCAGCAAGGTGCT	479
BOR1	GCTTACCTGCATTACAGGGAGTGATGTCTATCCAAACAAAGAGTCATCAGCAAGGTGCT	
tetB1	TTACAGGGATTATTGGGAGCCTTACCAATGCACAT	511
tetB2	TTACAGGGATTATTGGGAGCCTTACCAATGCACT-	513
BOR1	TTACAGGGATTATTGGGAGCCTTACCAATGCACT	

Anexo 3. Obtención de secuencia de consenso BOR2: *tet(B)* de *P.aeruginosa*.

tetB3	TGCCTTGGTAAAGCGGGGCCTATTATTGGTGGTTTGAGGAGAGTTTACCGCATAGT	60
tetB4	-AGCTTGGTAAAGCGGGGCCTATT-TTGGTGGTTTGAGGAGAGATTTC-CCGCATAGT	57
BOR2	TGCCTTGGTAAAGCGGGGCCTATTATTGGTGGTTTGAGGAGAGTTTACCGCATAGT	
tetB3	CCCTTTTATCGCTCGTTGCTAAATATTGCGCTTCCTGTGGTTATGTTATTGTT	120
tetB4	CCCTTTTATCGCTCGTTGCTAAATATTGCGCTTCCTGTGGTTATGTT-TGGTT	116
BOR2	CCCTTTTATCGCTCGTTGCTAAATATTGCGCTTCCTGTGGTTATGTTATTGTT	
tetB3	CCGTGAAACCAAAATACACCGTGATAATACAGATAACCGAAGTAGGGGTTGAGACGCAAT	180
tetB4	CCGTGAAACCAAAATACAC-GTGATAATACAGATAACCGAAGTAGGGGTTGAGACGCAAT	175
BOR2	CCGTGAAACCAAAATACACCGTGATAATACAGATAACCGAAGTAGGGGTTGAGACGCAAT	
tetB3	CGAATT CGGTATACATCACTTATTAAAACGATGCCATTGTTGATTATTATTATT	240
tetB4	CGAATT CGGTATACATCACTTATTAAAACGATGCCATTGTTGATTATTATTATT	235
BOR2	CGAATT CGGTATACATCACTTATTAAAACGATGCCATTGTTGATTATTATTATT	
tetB3	CAGCGCAATTGATAGGCCAATTCCCGCAACGGTGTGGGTGCTATTACCGAAAATCGTT	300
tetB4	CAGCGCAATTGATAGGCCAATTCCCGCAACGGTGTGGGTGCTATTACCGAAAATCGTT	295
BOR2	CAGCGCAATTGATAGGCCAATTCCCGCAACGGTGTGGGTGCTATTACCGAAAATCGTT	

tetB3	TTGGATGGAATAGCATGATGGTTGGCTTTCATTAGCGGGCTTGCTTTACACTCAG	360
tetB4	TTGGATGGAATAGCATGATGGTTGGCTTTCATTAGCGGGCTTGCTTTACACTCAG	355
BOR2	TTGGATGGAATAGCATGATGGTTGGCTTTCATTAGCGGGCTTGCTTTACACTCAG	
tetB3	TATTCCAAGCCTTGTGGCAGGAAGAATAGCCACTAAATGGGGCGAAAAA-CGGCAGTAC	419
tetB4	TATTCCAAGCCTTGTGGCAAGAAGAATAGCCACTAAATGGGGCGAAAAAACGGCAGTAC	415
BOR2	TATTCCAAGCCTTGTGGCAAGAAGAATAGCCACTAAATGGGGCGAAAAAACGGCAGTAC	
tetB3	TGCTCGGATTATTGCAGATAGTAGTCATTGCCTTTAGCGTTATATCTGAAGGT-	478
tetB4	TGCTCGGATTATTGCAGATAGTAGTCATTGCCTTTAGCGTTATATCTGAAGGTT	475
BOR2	TGCTCGGATTATTGCAGATAGTAGTCATTGCCTTTAGCGTTATATCTGAAGGTT	
tetB3	GGGTTAGTTT--CCCTGTTT--AATTTATT-	507
tetB4	GGGTGAGGTTGTCCCTGTTTAAATTTATTA	509
BOR2	GGGTGAGGTTGTCCCTGTTTAAATTTATTA	

Anexo 4. Secuencias a comparar en el alineamiento nucleotídico.

a) Secuencias entregadas por genYtec

>BOR1: secuencia de consenso tet(B) (*P.agglomerans*)

```
TTATGTTTGGGTTCCGTGAAACCAAAAAAATACACGTGATAATACAGATAACCGGAAGTAGGGTTGAGACGCAATC
GAATTCGGTATACATCACTTATTAAAACGATGCCCTGTTTAAATTTATTA
GCCAAATTCCCGCAACGGTGGGTGCTATTACCGAAAATCGTTGGATGGAATAGCATGATGGTTGGCTTT
CATTAGGGTCTGGTCTTACACTCAGTATTCCAAGCCTTGTGGCAGGAAGAATAGCCACTAAATGGGGCG
AAAAAACGGCAGTACTGCTGGATTATTGCAGATAGTAGTCATTGCCTTTAGCGTTATATCTGAAGGTT
GGTTAGTTCCCTGTTATAATATTGGCTGGTGGGATCGCTTACCTGCATTACAGGGAGTGATGTCTA
TCCAAACAAAGAGTCATCGCAAGGTGCTTACAGGGATTATTGGGAGCCTACCAATGCACT
```

>BOR2: secuencia de consenso tet(B) (*P.aeruginosa*)

```
TGCCTTGGTAAAGCGGGGCCTATTATTGGTGGTTTGAGGAGAGTTTACCGCATAGCCCTTTATCGCT
GCGTTGCTAAATATTGTCGCTTCCCTGTGGTTATGTTATTGTCGTAACCAAAATACACCGTGATAATA
CAGATACCGAAGTAGGGGTTGAGACGCAATCGAATTGGTATACATCACTTATTAAAACGATGCCCTTGT
TGATTATTATTTCAGCGCAATTGATAGGCCAATTCCCGAACGGTGTGGGTGCTATTACCGAAAATCGTT
TTGGATGGAATAGCATGATGGTGGCTTTCATTAGCGGGCTTGGTCTTTACACTCAGTATTCCAAGCCTTG
TGGCAAGAAGAATAGCCACTAAATGGGGCGAAAAAACGGCAGTACTGCTGGATTATTGCAGATAGTAGTCAT
TTGCCTTTAGCGTTATATCTGAAGGTTGGTGGAGGTTGCTTACCAATGCACT
```

b) Secuencias aportadas por GenBank® (Números de acceso)

>S1: *Streptococcus suis* (FJ411076.1)

AGGGGGCAAGTTTGGCTTAAATAGCGGGGCCTATTATTGGTGGTTGCAGGAGAGATTCACCGCATA
GTCCCTTTTATCGCTCGTGCTAAATATTGTCACTTCCCTGTGGTTATGTTTGGTCCGTGAAACCAAAA
ATACACGTGATAATACAGATAACCGAAGTAGGGGTTGAGACGCAATCGAATTCCGGTATACATCACTTATTAAAA
CGATGCCATTGGTGAATTATTATTTCAAGCGAATTGATAGGCCAAATTCCCGCAACGGTGTGGTGCTAT
TTACCGAAAATCGTTGGATGGAATAGCATGATGGTGGCTTCAATTAGCGGGTCTGGTCTTTACACTCAG
TATTCCAAGCCTTGTGGCAGGAAGAATAGCCACTAAATGGGGCAAAAAACGGCAGTACTGCTCGGATTATTG
CAGATAGTAGTGCATTGCCTTTAGCGTTATCTGAAGGTTGGTAGTTCCCTGTTAATTATTATTGG
CTGGTGGTGGGATCGCTTACCTGCATTACAGGGAGTGTCTATCCAAACAAAGAGTCATCAGCAAGGTGCTT
TACAGGGATTATTGGTGAACCGGTGTTATTGGCCCATTACA

>S2: *Escherichia coli* (HQ333262.1)

GAGATCGGTCTATTATTGGTGGTTGCAGGAGAGATTCACCGCATAGTCCCTTTTATCGCTGCCTTGCTAA
ATATTGTCGCTTCCTGTGGTTATGTTGGTCCGTGAAACCAAAAATACACGTGATAATACAGATAACCGAAG
TAGGGGTTGAGACGCAATCGAATTCCGTATACATCACTTATTAAAACGATGCCATTGGTGAATTATTATT
TTTCAGCGCAATTGATAGGCCAAATTCCCGCAACGGTGTGGTGCTATTACCGAAAATCGTTGGATGGAATA
GCATGATGGTGGCTTCAATTAGCGGGTCTGGTCTTTACACTCAGTATTCCAAGCCTTGTGGCAGGAAGAA
TAGCCACTAAATGGGGCAAAAAACGGCAGTACTGCTCGGATTATTGCAGATAGTAGTGCATTGCCTTTAG
CGTTTATATCTGAAGGTTGGTAGTTCCCTGTTAATTATTATTGGCTGGTGGGGATCGCTTACCTGCAT
TACAGGGAGTGTCTATCCAAACAAAGAGTCATCAGCAAGGTGCTTACAGGGATTATTGGTGAACCGCTTACCA
ATGCAACCGGTGTTATTGGCCCCATTAC

>S3: *Pasteurella multocida* (FR872822.1)

GGTTAGGGGCAAGTTTGGCTTGGTTAAATAGCGGGGCCTATTATTGGTGGTTGCAGGAGAGATTCACCGC
ATAGTCCCTTTTATCGCTCGTGCTAAATATTGTGCTTCCCTGTGGTTATGTTTGGTCCGTGAAACCA
AAAATACACGTGATAATACAGATAACCGAAGTAGGGGTTGAGACGCAATCGAATTCCGTATACACTTATTAA
AAACGATGCCATTGGTGAATTATTATTACCGCAATTGATAGGCCAAATTCCCGCAACGGTGTGGTGCT
TATTACCGAAAATCGTTGGATGGAATAGCATGATGGTGGCTTCAATTAGCGGGTCTGGTCTTTACACT
CAGTATTCCAAGCCTTGTGGCAGGAAGAATAGCCACTAAATGGGGCAAAAAACGGCAGTACTGCTCGGATTAA
TTGCAGATAGTAGTGCATTGCCTTTAGCGTTATCTGAAGGTTGGTAGTTCCCTGTTAATTATT
TGGCTGGTGGGGATCGCTTACCTGCATTACAGGGAGTGTCTATCCAAACAAAGAGTCATCAGCAAGGTG
CTTACAGGGATTATTGGTGAACCGCTTACCAATGCAACCGGTGTTATTGGCCCATTACTGTTGCTGTTATTATA
ATCATTCACTACCAATTGGGATGGCTGGATTGGATTATTGGTTAGCGTTTACTGTATTATTACCTGCTAT
CGATGACCTTC

Anexo 5. Alineamiento de secuencias BOR1 y BOR2 v/s secuencias GenBank®.

BOR1	TATTTAAAACGATGCCCATTTGTTGATTATTTTCAGCGCAATT	145
S2	-----TGTGATTATTTTCAGCGCAATT	28
S1	TATTTAAAACGATGCC-ATTTGTTGATTATTTTCAGCGCAATT	265
S3	TATTTAAAACGATGCC-ATTTGTTGATTATTTTCAGCGCAATT	296
BOR2	TATTTAAAACGATGCC-ATTTGTTGATTATTTTCAGCGCAATT	250

BOR1	GATAGGCCAATTCCCGAACGGTGTGGTGCTATTAACGAAAATCGTT	195
S2	GATAGGCCAATTCCCGAACGGTGTGGTGCTATTAACGAAAATCGTT	78
S1	GATAGGCCAATTCCCGAACGGTGTGGTGCTATTAACGAAAATCGTT	315
S3	GATAGGCCAATTCCCGAACGGTGTGGTGCTATTAACGAAAATCGTT	346
BOR2	GATAGGCCAATTCCCGAACGGTGTGGTGCTATTAACGAAAATCGTT	300

BOR1	TTGGATGGAATAGCATGATGGTGGCTTTCATTAGCGGGCTTGGCTT	245
S2	TTGGATGGAATAGCATGATGGTGGCTTTCATTAGCGGGCTTGGCTT	128
S1	TTGGATGGAATAGCATGATGGTGGCTTTCATTAGCGGGCTTGGCTT	365
S3	TTGGATGGAATAGCATGATGGTGGCTTTCATTAGCGGGCTTGGCTT	396
BOR2	TTGGATGGAATAGCATGATGGTGGCTTTCATTAGCGGGCTTGGCTT	350

BOR1	TTACACTCAGTATTCCAAGCCTTGTGGCAGGAAGAATAGCCACTAAATG	295
S2	TTACACTCAGTATTCCAAGCCTTGTGGCAGGAAGAATAGCCACTAAATG	178
S1	TTACACTCAGTATTCCAAGCCTTGTGGCAGGAAGAATAGCCACTAAATG	415
S3	TTACACTCAGTATTCCAAGCCTTGTGGCAGGAAGAATAGCCACTAAATG	446
BOR2	TTACACTCAGTATTCCAAGCCTTGTGGCAGGAAGAATAGCCACTAAATG	400

BOR1	GGCGAAAAAACGGCAGTACTGCTCGGATTATTGCAGATAGTAGTGCAT	345
S2	GGCGAAAAAACGGCAGTACTGCTCGGATTATTGCAGATAGTAGTGCAT	228
S1	GGCGAAAAAACGGCAGTACTGCTCGGATTATTGCAGATAGTAGTGCAT	465
S3	GGCGAAAAAACGGCAGTACTGCTCGGATTATTGCAGATAGTAGTGCAT	496
BOR2	GGCGAAAAAACGGCAGTACTGCTCGGATTATTGCAGATAGTAGTGCAT	450

BOR1	TTGCCTTTAGCGTTATATCTGAAGGTTGGTAGTTCCCTGTTATA	395
S2	TTGCCTTTAGCGTTATATCTGAAGGTTGGTAGTTCCCTGTTTA	278
S1	TTGCCTTTAGCGTTATATCTGAAGGTTGGTAGTTCCCTGTTTA	515
S3	TTGCCTTTAGCGTTATATCTGAAGGTTGGTAGTTCCCTGTTTA	546
BOR2	TTGCCTTTAGCGTTATATCTGAAGGTTGG-----	482

Anexo 6. Obtención secuencia de consenso BOR3: *tet(A)* de *P.agglomerans*.

tetA1	CCGTTACACGGCTTCGTCGGGCTCTAGGACCTCCGGCGTGTGAGGACCCGCACGTT	60
tetA2	ACAT-ACACGGCTTCATGGTCTCTGGGACCTCCGGCGTGTGCCAGC-CCCGCAGGAT	58
BOR3	CCGTTACACGGCTTCGTCGGGCTCTAGGACCTCCGGCGTGTGAGGACCCGCACGTT	
tetA1	GCCCAGGTCCACCCGTCCCCCTCCACGATTGCCACGTGCCCTCTGAA-CCTCGCAGG	119
tetA2	GCCCCCGTCCACCCGCGCCCGTTCGACGAGTCCAGGAGCCGCTCTGAAGCTTTCGA	118
BOR3	GCCCCCGTCCACCCGCGCCCGTTCGACGAGTCCAGGAGCCGCTCTGAAGCTTTCGA	
tetA1	CCTCGTTGGTCAAGAAGTGCAGATGTGCCGGTTGAGCCCTTGCTTCTTGCTTCCA	179
tetA2	TTTCGTTGGTCAAGATGTCCCCGATGTGCCGGTTGAGCCCTTGCTTCTTGCCCTCCA	178
BOR3	TCTCGTTGGTCAAGATGTCCCCGATGTGCCGGTTGAGCCCTTGCTTCTTGCCCTCCA	
tetA1	CGCCCACCGCGGTCAAGGCCCTTGACCGCGTTGGCGAGTCGTGCCATCCCTGTGGCTCCT	239
tetA2	CGCCCACCGCGGTCAAGGCCCTGGACCGCGTTGGCGATGCGTGCCTGCCATCTCCTGTGGCTCCT	238
BOR3	CGCCCACCGCGGTCAAGGCCCTTGACCGCGTTGGCGATTCGTGCCATCCCTGTGGCTCCT	
tetA1	GTGGCACAGGGTACACCGCATCAATGTTATCAATGCTGTCCAGGCAG-	286
tetA2	GTTCACATGGTACACGGAATCAATGTTATCCATGCTGTCCAGGCAGA	286
BOR3	GTTCACATGGTACACGGAATCAATGTTATCCATGCTGTCCAGGCAGA	

Anexo 7. Obtención de secuencia de consenso BOR4: *tet(A)* de *P.aeruginosa*.

tetA3	TGTAATTCTTGTAAATTGTGAGCAGGGTCGCCCGTCACAGGTTCGTCAGGGCTCAGGGC	60
tetA4	-----TGTAATTGTGAGCAGGGTCGCCCGTCACAGGTTCGTCAGGGCTCAGGGC	52
BOR4	*****	*****
	TGTAATTCTTGTAAATTGTGAGCAGGGTCGCCCGTCACAGGTTCGTCAGGGCTCAGGGC	
tetA3	CAGCCGCCGGTCGTCAAAAACGCGCAGGTTGACCCGTGCCGCCGCCGTTCGAGGA	120
tetA4	CAGCCGCCGGTCGTGACCA-CGCGCAGGTTGACCCGTGCCGCCGCCGTTCGAGGA	111
BOR4	***** * * *****	*****
	CAGCCGCCGGTCGTCAAAAACGCGCAGGTTGACCCGTGCCGCCGCCGTTCGAGGA	
tetA3	TCGCCGCCTGACGCTGCCGACCTCGTAGGTCAGGGTGTGCAAGAAGTGCCGGTTGA-GC	179
tetA4	TCGCCGCCTGACGCTGCCGACCTCGTAGAACATGGTGTGCAAGAAGTGCCGAAAAAGC	171
BOR4	***** * * *****	***** * *
	TCGCCGCCTGACGCTGCCGACCTCGTAGAACATGGTGTGCAAGAAGTGCCGAAAAAGC	
tetA3	CGCCGCAGTCCTTGTCTTCCAGGCCCCGCCAGCAGCGCGGTCAAGCGCTGGACGCGT	239
tetA4	CGCCGCAGTCCTTGTCTTCCAGGCCCCGCCAGCAGCGCGGTCAAGCGCTGGACGCGT	231
BOR4	*****	*****
	CGCCGCAGTCCTTGTCTTCCAGGCCCCGCCAGCAGCGCGGTCAAGCGCTGGACGCGT	

tetA3	TGGCGATGCGTTCTAGGCCTGGGCCAGGAGACGGCA-ACAC	282
tetA4	TGGCGATGCGTTCTAGGCCTGGGCCAGGAGACGGCATACAA	275

BOR4	TGGCGATGCGTTCTAGGCCTGGGCCAGGAGACGGCATACAA	

Anexo 8. Secuencias a comparar en el alineamiento nucleotídico.

a) Aportadas por genYtec

>BOR3: secuencia de consenso tet(A). (*P.agglomerans*)

```
CCGTTACACGGCTTCGTCGGGCTCTAGGACCCCTCCGGCGTCGAGGACCCGACGTTGCCCGTCCACCCG
CGCCCGTTCGACGAGTTCCAGGAGCCGCTCCTGAAGCTTTTCGATCTCGTGGTCAAGATGTCCCCGATGTGCC
GGTTGAGCCCTTGCTTCTGCCCCTCACGCCAACCGCGGTCAAGGCCCTTGACCGTTGGCGATTGTGCCA
TCCCCCTGTGGCTCCTGTTGCACATGGTACACGGAATCAATGTATCCATGCTGTCCAGGCAGA
```

>BOR4: secuencia de consenso tet(A) (*P.aeruginosa*)

```
TGTAATTCTTGTAAATTGTGAGCAGGGTCGCCGCGTACAGGTTTCGTCGAGGCTCAGGGCCAGCCGCCGGTCGTC
AAAAAACGCGCAGGTTGACCGTGCACGCCGCGCCCGTTCGAGGATCGCCGCTGACGCTCGCCGACCTCGTAGA
ACATGGTGTGCAAGAAGTGCCAAAAAGCCGCCAGTCCCTGCTTCCAGGCCGCCAGCAGCGCGGTC
AGCGCTGGACGCGTTGGCGATCGGTTCAAGGTCTGGGCCAGGAGACGGCATACAA
```

b) Aportadas por GenBank® (Números de acceso)

>S4: *Escherichia coli* (NC_005327.1)

```
GTGAAACCCAACAGACCCCTGATCGTAATTCTGAGCACTGTCGCGCTCGACGCTGTCGGCATCGGCCTGATTATG
CCGGTGTGCCGGGCTCCTGCGCGATCTGGTTACTCGAACGACGTCACCGCCCACTATGGCATTCTGCTGGCG
CTGTATGCGTTGATGCAATTGCTGCGCACCTGTGCTGGCGCTGTCGGATCGTTTCGGGCGCTTGGGTTCTCTAT
TTGCTCGCTCGCTGGCGCGCTGCTGCACTACGCCATCATGGCAGGGCGCCTTCTGGGTTCTCTAT
ATCGGGCGGATCGTGGCCGGCATCACCGGGCGACTGGGGCGTAGCCGGCTTATATTGCGGATATCACTGAT
GGCGATGAGCGCGCCGGCACTTCGGCTCATGAGCGCTGTTGGGATGGTCGCGGGACCTGTGCTC
GGTGGGCTGATGGGCGGTTCTCCCCCCCACGCTCCGTTCTCGCCGCCAGCCTTGAACGGCCTCAATTCTG
ACGGGCTGTTCTTTGCCGGAGTCGACAAAGCGAACGCCGGCGTACGCCGGAGGCTCTCAACCCGCTC
GCTTCGTTCCGGTGGGCCGGCATGACCCTGTCGCCGCCCTGATGGCGGTCTTCATCATGCAACTTGT
GGACAGGTGCCGGCGCGCTTGGGTCATTCGAGGCAATGATCACCGGCCCTGATGCCGGCTCGCATT
TCGTTGCCGATTGGCATTCTGCACTCGCCAGGCAATGATCACCGGCCCTGATGCCGGCTCGC
GAAAGGGGACTCATGCTCGGAATGATTGCCACGGCACAGGCTACATCCTGCTGCCCTCGCAGACAGGGGA
TGGATGGCGTTCCCGATCATGGTCTGCTTGGGATCGGAATGCCGGCTGCAAGCAATGTTGTCC
AGGCAGGTGGATGAGGAACGTCAGGGGAGCTGCAAGGCTACTGGCGGCCCTCACAGCCTGACCTGATCGTC
GGACCCCTCCTCTCACGGCGATCTATGCCGGTTCTATAACAACGTTGAACGGGTGGCATGGATTGCAAGCGCT
GCCCTACTTGCTCTGCCGCCGGCTGCCGGCTTGGAGCGCGCAGGGCAACGAGCCATCGCTGA
```

>S5: *Klebsiella pneumoniae* (NC_013951.1)

```
ATGTCCACCAACTTATCAGTATAAAGAATCCGCGCGTTCAATCGGACCAAGCGGAGGCTGGTCCGGAGGCCAGAC
GTGAAACCCAACAGACCCCTGATCGTAATTCTGAGCACTGTCGCGCTCGACGCTGTCGGCATCGGCCTGATTATG
CCGGTGTGCCGGGCTCCTGCGCGATCTGGTTACTCGAACGACGTCACCGCCCACTATGGCATTCTGCTGGCG
CTGTATGCGTTGATGCAATTGCTGCGCACCTGTGCTGGCGCTGTCGGATCGTTTCGGGCGGGCGCT
TTGCTCGCTCGTGGCGCGCTGCTGCACTACGCCATCATGGCAGGGCGCCTTCTGGGTTCTCTAT
ATCGGGCGGATCGTGGCCGGCATCACCGGGCGACTGGGGCGTAGCCGGCTTATATTGCGGATATCACTGAT
GGCGATGAGCGCGCCGGCACTTCGGCTCATGAGCGCTGTTGGGATGGTCGCGGGACCTGTGCTC
```

```

GGTGGGCTGATGGGCCGTTCTCCCCCCCACGCTCCGTTCTCGCCGCCAGCCTTGAACGGCCTCAATTCTTG
ACGGGCTGTTCTTGTGCCGGAGTCGCACAAAGGCGAACGCCGGCCGTACGCCGGGAGGCTCTCAACCCGCTC
GCTTCGTTCCGGTGGGCCGGGCGATGACCCTCGTCGCCGCCCTGATGGCGGTCTTCTCATGCAACTTGTCT
GGACAGGTGCCGGCCGCGCTTGGGTCTTTCGGCGAGGATCGCTTCACTGGGACGCGACCACGATCGCATT
TCGCTTGGCGATTGGCATTCTGCATTCACTGCCAGGCAATGATCACCGGCCCTGTAGCCGCCGGCTCGGC
GAAAGGCGGGCACTCATGCTCGGAATGATTGCCGACGGCACAGGCTACATCCTGCTGCCCTCGGCACACGGGA
TGGATGGCGTTCCCGATCATGGTCTGCTTGGCATCGGAATGCCGGCCTGCAAGCAATGTTGTCC
AGGCAGGTGGATGAGGAACGTCAGGGCAGCTGCAAGGCTACTGGCGGCCTCACCGCTGACCTCGATCGTC
GGACCCCTCCTCTTACGGCATCTATGCGCTTCTATAACAACGTTGAACGGTGGCATGGATTGCAGGGCT
GCCCTCTACTTGCTCTGCCGGCGCTCGTCGCCGGCTTGGAGCGGCAGGGCAACGAGCCGATCGCTGA

```

Anexo 9. Alineamiento de secuencias BOR3 y BOR4 v/s secuencias GenBank®.

S4	-----GTGAAACCCAACAGACCCCTGATCGTAATTCTGAGCACGTGCG 45
S5	GTCCGGAGGCCAGACGTGAAACCCAACAGACCCCTGATCGTAATTCTGAGCACGTGCG 120
BOR4	-----TGTAAATTCTGAGCACGGGTCG 30
BOR3	-----CCGTTA-----CAC- 9 *** * * *
S4	CTCGACGCTGTCGGCATCGGCCTGATTATGCCGGTCTGCCGGGCTCCTGCGCGATCTG 105
S5	CTCGACGCTGTCGGCATCGGCCTGATTATGCCGGTCTGCCGGGCTCCTGCGCGATCTG 180
BOR4	-----CGC-GTCA-----CAGGTTCGTCAAGGCT-CAGGGCCAGCCGC-CGGTCG- 73
BOR3	-----GGCTTCGTCG-GGCTCTAGGACCCCTCCGGCG-TCG- 43 * * * * * *** * * * * * *
S4	GTTCACTCGAACGACGTACCGGCCACTATGGCATTCTGCTGGCGCTGTATGCGTTGATG 165
S5	GTTCACTCGAACGACGTACCGGCCACTATGGCATTCTGCTGGCGCTGTATGCGTTGATG 240
BOR4	-----TCAAAAAAACGC-----G 85
BOR3	-----TCGAG-GACCC-----G 54 *** * * *
S4	CAATTGCGCTGCGCACCTGTGCTGGCGCGCTGCGGATCGTTGGCGGGCGGCCGGTC 225
S5	CAATTGCGCTGCGCACCTGTGCTGGCGCGCTGCGGATCGTTGGCGGGCGGCCGGTC 300
BOR4	CAGGTTG-----ACCGTGCCTGCCCGGCC-----CGTT----- 114
BOR3	CACGTTGCC-----CCCGT-CCACCCGCGCC-----CGTT----- 83 ** *** * * * * *****
S4	TTGCTCGTCTCGCTGGCGCGCTGTCGACTACGCCATCATGGGACGGGCCCTTC 285
S5	TTGCTCGTCTCGCTGGCGCGCTGTCGACTACGCCATCATGGGACGGGCCCTTC 360
BOR4	-----CGA----- 117
BOR3	-----CGACG----- 88 ***
S4	CTTTGGGTTCTATATCGGGCGGATC-----GTGGCCGGCATCACCGGGCGACTGGGG 340
S5	CTTTGGGTTCTATATCGGGCGGATC-----GTGGCCGGCATCACCGGGCGACTGGGG 415
BOR4	-----GGATC-----GCCGCC----- 128
BOR3	-----AGTCCAGGAGCCGCTC----- 105 * * * * *

S4	CGGTAGCCGGCGCTTATATTGCCGATATCACTGATGGCGATGAGCGCGCGCGGCACCTTCG	400
S5	CGGTAGCCGGCGCTTATATTGCCGATATCACTGATGGCGATGAGCGCGCGCGGCACCTTCG	475
BOR4	-----TGACGCTC-----GCCGA-----	141
BOR3	-----CTGAAGCTT-----TTTCGA-----	120
	* *** ***	
S4	GCTTCATGAGCGCCTGTTCGGGATGGTCGCGGGACCTGTGCTCGGTGGCTGA	460
S5	GCTTCATGAGCGCCTGTTCGGGATGGTCGCGGGACCTGTGCTCGGTGGCTGA	535
BOR4	-----CCT-----CGTAGAAC-----A	153
BOR3	-----TCT-----CGTTGGTC-----A	132
	** *** * *	
S4	TGGGCGGTTCTCCCCCCCACGCTCCGTTCTCGCCGCGGAGCCTTAACGGCCTCAATT	520
S5	TGGGCGGTTCTCCCCCCCACGCTCCGTTCTCGCCGCGGAGCCTTAACGGCCTCAATT	595
BOR4	TGG-----TGTCAAGAAAG-----	167
BOR3	AGA-----TGTCCCCGATG-----	146
	* * * * *	
S4	TCCTGACGGGCTGTTCCCTTTCGCGGAGTCGCACAAAGCGAACGCCGGCCGTTACGCC	580
S5	TCCTGACGGGCTGTTCCCTTTCGCGGAGTCGCACAAAGCGAACGCCGGCCGTTACGCC	655
BOR4	-----TGCGGAA-----AAAAGC-----CGCCG-----	185
BOR3	-----TGCCG-----GTTG-----	155
	***** * *	
S4	GGGAGGCTCTCAACCCGCTCGCTTCCGGTGGGCCCCGGGCATGACCGTCGTCGCCG	640
S5	GGGAGGCTCTCAACCCGCTCGCTTCCGGTGGGCCCCGGGCATGACCGTCGTCGCCG	715
BOR4	-----CAGTCC-CTTGCT---TTCCAG---GCCCG-----CCG	211
BOR3	-----AGCCC-CTTGCT---TTCCTT---GCCCT-----CCACG	182
	* * * * ***** ***** **	
S4	CCCTGATGGCGGTCTTCTCATCATGCAACTTGTGGACAGGTGCGGGCCGCGCTTGGG	700
S5	CCCTGATGGCGGTCTTCTCATCATGCAACTTGTGGACAGGTGCGGGCCGCGCTTGGG	775
BOR4	CC---AGCAGCG-----CGGTCAAGGCCTGGACGCG---TTGGG	244
BOR3	CC---CACCG-----CGGTCAAGGCCCTTGACGCG---TTGGG	213
	** ** *** * * * * *****	
S4	TCATTTCGCGAGGATCGCTTCACTGGGACCGGACGATCGGCATTCGCTTGCCTG	760
S5	TCATTTCGCGAGGATCGCTTCACTGGGACCGGACGATCGGCATTCGCTTGCCTG	835
BOR4	-----CGAT--CGTTCA-----	256
BOR3	-----CGATT--CGTGCCTACCCCTG	232
	**** * * * *	
S4	CATTGGCATTCTGCATTCACTCGCCCAGGCAATGATCACCGGCCGTAGCCGCCGGC	820
S5	CATTGGCATTCTGCATTCACTCGCCCAGGCAATGATCACCGGCCGTAGCCGCCGGC	895
BOR4	-----GGTCCTG-----GGC	266
BOR3	TG-----GCTCCTGTTGC-ACATGGT	252
	* **** **	

S4	TCGGCGAAAGGCCGGCACTCATGCTCGAATGATTGCCGACGGCACAGGCTACATCCTGC	880
S5	TCGGCGAAAGGCCGGCACTCATGCTCGAATGATTGCCGACGGCACAGGCTACATCCTGC	955
BOR4	CCAG-GA-----GACGGCA-----TACAA-----	284
BOR3	ACACGGAA-----TCAATGTTA-----TCCATGCTGT	279

* * * * *

Anexo 10. Diseño de partidores *in silico*.

Secuencias de partidores obtenidas mediante el programa *on line* OligoPerfect™ Designer, de libre acceso (<http://tools.invitrogen.com/content.cfm?pageid=9716>)

Target Sequence:										
1	10	20	30	40	50	60	70	80	90	
1	GTA	AA	CCC	A	C	T	G	C	G	CG
101	A	T	C	G	T	T	C	A	T	T
201	G	G	A	T	T	T	G	G	G	G
301	A	T	C	G	G	C	G	T	T	T
401	G	C	T	R	G	C	G	T	T	T
501	A	G	C	T	T	T	C	G	G	G
601	G	C	T	G	T	T	C	A	T	T
701	T	A	T	T	T	C	G	G	G	G
801	C	G	G	C	T	T	G	C	A	G
901	T	G	R	T	G	G	C	T	T	G
1001	G	C	R	G	T	T	C	G	G	G
1101	C	G	G	T	G	G	R	T	G	T

Rank: 1 Product Length: 526 Product Region: 363-888				
Primer Name	%GC	Strand	Size (bases)	Tm (°C)
<input checked="" type="checkbox"/> bor5 1 F	50.00	FWD	20	60.06
<input checked="" type="checkbox"/> bor5 1 R	55.00	REV	20	59.99

Anexo 11. Partidores propuestos para la detección del gen *tet(A)*.

Nombre del partidor propuesto	Secuencia
BOR5 1F	5'-CGATATCACTGATGGCGATG-3'
BOR5 1R	5' -GAAGGCAAGCAGGATGTAGC-3'

Anexo 12. Identidad nucleotídica según el programa BLAST para BOR4 (*P.aeruginosa*).

Sequences producing significant alignments:		
Accession	Description	Max ident
CP002496.1	Pseudomonas aeruginosa M18, complete genome	93%
FM209186.1	Pseudomonas aeruginosa LESB58 complete genome sequence	93%
CP000438.1	Pseudomonas aeruginosa UCBPP-PA14, complete genome	93%
AF004091.2	Pseudomonas aeruginosa PAO1, complete genome	93%
AP012280.1	Pseudomonas aeruginosa NCGM2.S1 DNA, complete genome	93%
CP000744.1	Pseudomonas aeruginosa PA7, complete genome	88%

Alignments

Select All [Get selected sequences](#) [Distance tree of results](#)

```

>gb|CP002496.1| D Pseudomonas aeruginosa M18, complete genome
Length=6327754
Score = 396 bits (214), Expect = 5e-107
Identities = 249/265 (94%), Gaps = 5/265 (2%)
Strand=Plus/Plus

Query 22      CAGGGTCGCCGCGTCACAGGTTCGTCGAGGCTCAGGGCCAGCCGCCGGTCTGTCAAAAAA 81
Sbjct 5924595 CAGGGTCGCCGCGTCACAGGTTCGTCGAGGCTCAGGGCCAGCCGCCGGTCTGTC-GACCA 5924653
Query 82      CGCGCAGGTTGACCCGTGCCGCCCGCGCCGTTCTGAGGATCGCCGCCCTGACGCTCGCCGA 141
Sbjct 5924654 CGCGCAGGTTGACCCGTGCCGCCCGCGCCGTTCTGAGGATCGCCGCCCTGACGCTCGCCGA 5924713
Query 142     CCTCGTAGAACATGGTGTGAAAGAAGTGCCTGAAAGAAGTGCCTGAAAGAAGTGCCTGAAAG 201
Sbjct 5924714 CCTCGTAGGTCTAGGGTGTGAAAGAAGTGCCTGAAAGAAGTGCCTGAAAGAAGTGCCTGAAAG 5924772
Query 202     AGGCCCGCCGCCAGCGCGCTCAGGCCCTGGACCCGTTGGCGATGCCTTCAGGTCC 261
Sbjct 5924773 AGGCCCGCCGCCAGCGCGCTCAGGCCCTGGACCGTTGGCGATGCCTTCAGGTCC 5924832
Query 262     TG-GCCCCA-GG-AAGACGGCATACA 283
Sbjct 5924833 TGTGGCCCATGGTAGACGGCATACA 5924857

```

Anexo 13. Identidad nucleotídica según el programa BLAST para BOR3 (*P.agglomerans*).

BLAST® Basic Local Alignment Search Tool

[Home](#) [Recent Results](#) [Saved Strategies](#) [Help](#)

NCBI/ BLAST/ blastn suite/ Formatting Results - BGFK5YJF01S

[Edit and Resubmit](#) [Save Search Strategies](#) [► Formatting options](#) [► Download](#)

BOR3

Query ID	Id 53153	Database Name	nr
Description	BOR3	Description	All GenBank+EMBL+DDBJ+PDB sequences (but no EST, STS, GSS, environmental samples or phase 0, 1 or 2 HTGS sequences)
Molecule type	nucleic acid	Program	BLASTN 2.2.26+ ► Citation
Query Length	288		

No significant similarity found. For reasons why, [click here](#)

Other reports: [► Search Summary](#)